

Näide K2: Deformatsiooni analüüs

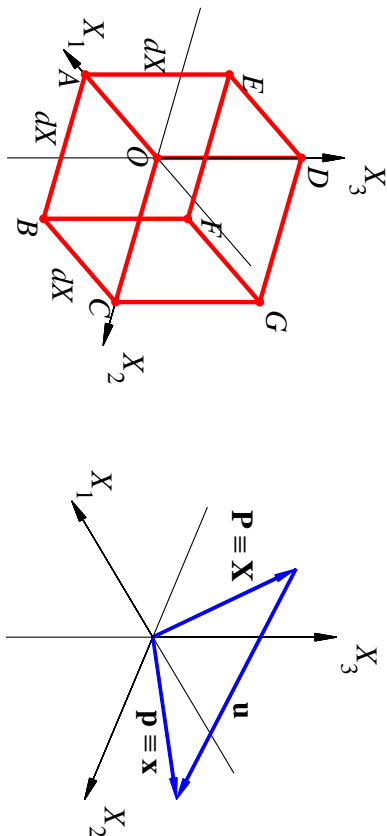
Pideva keskkonna liikumine on kirjeldatud teisendusega

$$\begin{cases} x_1 = X_1, \\ x_2 = X_2 + AX_3, \\ x_3 = AX_2 + X_3, \end{cases} \quad \text{kus } A = \text{const. } (0 < A < 1). \quad (1)$$

Leida:

1. Siirdevektori komponendid Lagrange'i ja Euleri koordinaatides.
2. Millisteks kujunditeks deformneeruvad (X_2, X_3) tasandil asuv ring $(X_2)^2 + (X_3)^2 = (1 - A^2)^{-1}$ ja elementaarkuup servapikkusega $dX_1 = dX_2 = dX_3 = dX$. Esitada vastavad joonised kui $A = 1/2$.
3. Leida Cauchy, Greeni, Lagrange'i ja Euleri deformatsioonitensorid.
4. Deformatsioonitensorite peaväärustused ja pesaunnad.
5. Joonistada materiaalne ja ruumiline deformatsioonielipsoid.
6. Elementaarkuubi servade ja diagonaalide pikeniskoeffitsendid, suhtelised pi-kensemised ja pöörded ning algse täisnurga muutus $X_2 - X_3$ tasandis.
7. Pöördtensor R_{KK} .
8. Greeni deformatsioonitensori C_{KL} invariandid.

Deformatsiooni analüüs



Joonis 1: Algne kuup ja siirdevektor.

Lahendus

Teisenduse (1) pöörteisendus on

$$\begin{cases} X_1 = x_1, \\ X_2 = (x_2 - Ax_3)/(1 - A^2), \\ X_3 = (x_3 - Ax_2)/(1 - A^2). \end{cases} \quad (2)$$

1. Siire

Sirdevektor

$$\mathbf{U} \equiv \mathbf{u} = U_K \mathbf{I}_K = u_k \mathbf{i}_k = \mathbf{p} - \mathbf{P} = x_k \mathbf{i}_k - X_K \mathbf{I}_K. \quad (3)$$

Seega sirdevektori komponendid LK-s

$$\begin{cases} U_1 = x_1 - X_1 \stackrel{(1)}{=} 0, \\ U_2 = x_2 - X_2 \stackrel{(1)}{=} \dots \dots \dots \dots \dots = AX_3, \\ U_3 = x_3 - X_3 \stackrel{(1)}{=} \dots \dots \dots \dots \dots = AX_2, \end{cases}$$

ja EK-s

$$\begin{cases} u_1 = x_1 - X_1 \stackrel{(2)}{=} 0, \\ u_2 = x_2 - X_2 \stackrel{(2)}{=} \dots \dots \dots \dots \dots = \frac{A(x_3 - Ax_2)}{1 - A^2}, \\ u_3 = x_3 - X_3 \stackrel{(2)}{=} \dots \dots \dots \dots \dots = \frac{A(x_2 - Ax_3)}{1 - A^2}. \end{cases} \quad (5)$$

Deformatsiooni analüüs

2a. Ring. Algse ringjoone võrrand on $(X_2)^2 + (X_3)^2 = (1 - A^2)^{-1}$. Asendame siiia $X_K = X_K(x_1, x_2, x_3)$ pöördteisendusest (2).

$$\frac{(x_2 - Ax_3)^2}{(1 - A^2)^2} + \frac{(x_3 - Ax_2)^2}{(1 - A^2)^2} = \frac{1}{1 - A^2}$$

$$\dots \quad (6)$$

$$(1 + A^2)(x_2)^2 - 4Ax_2x_3 + (1 + A^2)(x_3)^2 = 1 - A^2.$$

See on ellipsi võrrand. Ellipsi joonistamiseks pöörame koordinaattelgi nurga $\pi/4$ võrra¹. Toome sisse uued koordinaadid v_1, v_2 , st. pöörane koordinaate x_1, x_2 .

$$\begin{cases} v_2 = (x_2 + x_3)/\sqrt{2}, \\ v_3 = (x_3 - x_2)/\sqrt{2}, \end{cases} \Rightarrow \begin{cases} x_2 = (v_2 - v_3)/\sqrt{2}, \\ x_3 = (v_2 + v_3)/\sqrt{2}. \end{cases} \quad (7)$$

¹Teist järku joone võrrandi üldkuju on $ax^2 + 2bxy + cy^2 + 2dx + 2ey + f = 0$.

Kui pöörata telgi nurga α võrra, kus α avaldadakse võrrandi $b\tan^2 \alpha + (a - c)\tan \alpha - b = 0$ positiivset lahendist, saame tulmuseks teist järku joone võrrandi kujul: $Ax^2 + Cy^2 + 2Dx + 2Ey + F = 0$.

Asendades (7) vőrandisse (6) saame pärast mõningaid teisendusi

$$(1 - A)^2(v_2)^2 + (1 + A)^2(v_3)^2 = 1 - A^2$$

Viimasele saab anda kuju

$$\frac{(v_2)^2}{\frac{1+A}{1-A}} + \frac{(v_3)^2}{\frac{1-A}{1+A}} = 1. \quad (8)$$

Kui $A = 1/2$, siis algse ringi vőrand saab kuju

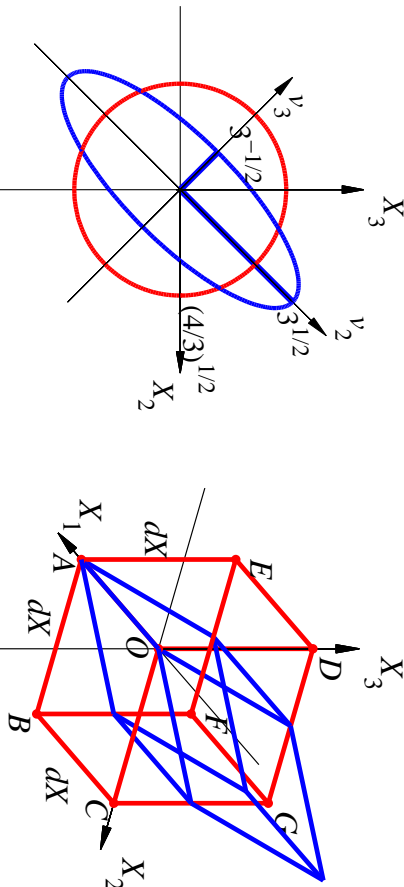
$$(x_2)^2 + (x_3)^2 = 4/3 \quad (9)$$

ja ellipsi vőrand

$$\frac{(v_2)^2}{3} + \frac{(v_3)^2}{\frac{1}{3}} = 1. \quad (10)$$

Seega, algse ringi raadius $r = 2/\sqrt{3} = 1, 155$ ja ellipsi poolteljed $a = \sqrt{3} = 1, 732$ ning $b = 1/\sqrt{3} = 0, 577$

Deformatsiooni analüüs



Joonis 2: Deformeerunud ring ja deformeerunud kuup.

2b. Kuup. Kuubi deformeerunud kuju leidmiseks on mitu erinevat võimalust. I)

Leiate näiteks kuubi servade siirded.

- a) serv $OA : X_2 = X_3 = 0 \xrightarrow{(4)} U_1 = U_2 = U_3 = 0$,
- b) serv $OC : X_1 = X_3 = 0 \xrightarrow{(4)} U_1 = U_2 = 0, U_3 = AX_2$,
- c) serv $OD : X_1 = X_2 = 0 \xrightarrow{(4)} U_1 = U_3 = 0, U_2 = AX_3$,
- d) serv $AB : X_1 = dX, X_3 = 0 \xrightarrow{(4)} U_1 = U_2 = 0, U_3 = AX_2$,
- e) serv $FG : X_2 = dX, X_3 = dX \xrightarrow{(4)} U_1 = 0, U_2 = U_3 = AdX$, jne.

II) Samahästi võiks leida tippude siirded:

- a) tipp O : koordinaadid enne deformatsiooni
 $X_1 = 0, X_2 = 0, X_3 = 0 \rightarrow (4) \rightarrow$
 siire $U_1 = 0, U_2 = 0, U_3 = 0$ ja
 koordinaadid peale deformatsiooni $x_1 = 0, x_2 = 0, x_3 = 0$;

- b) tipp B : koordinaadid enne deformatsiooni
 $X_1 = dX, X_2 = dX, X_3 = 0 \rightarrow (4) \rightarrow$
 siire $U_1 = 0, U_2 = 0, U_3 = AdX$ ja
 koordinaadid peale deformatsiooni $x_1 = dX, x_2 = dX, x_3 = AdX$; jne.

III) Deformeerunud kuubi tippude koordinaatide leidmiseks võib kasutada ka liikumisseadust (1).

3. Cauchy, Greeni, Lagrange'i ja Euleri deformatsioonitensorid (DT)

$$\text{Cauchy DT: } c_{kl} = X_{K,k} X_{K,l} \quad \text{Greeni DT: } C_{KL} = x_{k,K} x_{k,L} \quad (11)$$

$$\text{Lagrange'i DT: } 2E_{KL} = C_{KL} - \delta_{KL} \quad \text{Euleri DT: } 2e_{kl} = \delta_{kl} - c_{kl}$$

Kõigepealt on vaja leida deformatsioonigradiendid:

Deformatsiooni analüüs

8

$$X_{K,k} = \begin{bmatrix} \dots & \dots & \dots \\ \dots & \dots & \dots \\ \dots & \dots & \dots \end{bmatrix} \quad x_{k,K} = \begin{bmatrix} \dots & \dots & \dots \\ \dots & \dots & \dots \\ \dots & \dots & \dots \end{bmatrix} \quad (12)$$

3a. Cauchy DT $c_{kl} = X_{K,k} X_{K,l}$

$$\begin{aligned} c_{11} &= (X_{1,1})^2 + (X_{2,1})^2 + (X_{3,1})^2 = \dots \\ c_{22} &= (X_{1,2})^2 + (X_{2,2})^2 + (X_{3,2})^2 = \dots \\ c_{33} &= (X_{1,3})^2 + (X_{2,3})^2 + (X_{3,3})^2 = \dots \\ c_{12} &= c_{21} = X_{1,1}X_{1,2} + X_{2,1}X_{2,2} + X_{3,1}X_{3,2} = \dots \\ c_{23} &= c_{32} = X_{1,2}X_{1,3} + X_{2,2}X_{2,3} + X_{3,2}X_{3,3} = \dots \\ c_{13} &= c_{31} = 0 \end{aligned}$$

$$[c_{kl}] = \begin{bmatrix} 1 & 0 & 0 \\ 0 & \frac{1+A^2}{(1-A^2)^2} & -\frac{2A}{(1-A^2)^2} \\ 0 & -\frac{2A}{(1-A^2)^2} & \frac{1+A^2}{(1-A^2)^2} \end{bmatrix} \quad (13)$$

3b. Greeni DT $C_{KL} = x_{k,K}x_{k,L}$

$$\begin{aligned} C_{11} &= 1; \quad C_{22} = 1 + A^2; \quad C_{33} = 1 + A^2; \\ C_{12} = C_{21} &= C_{13} = C_{31} = 0; \quad C_{23} = C_{32} = 2A \end{aligned}$$

$$[C_{KL}] = \begin{bmatrix} 1 & 0 & 0 \\ 0 & 1 + A^2 & 2A \\ 0 & 2A & 1 + A^2 \end{bmatrix} \quad (14)$$

3c. Lagrange'i DT $2E_{KL} = C_{KL} - \delta_{KL}$

$$[E_{KL}] = \frac{1}{2} \begin{bmatrix} 0 & 0 & 0 \\ 0 & A^2 & 2A \\ 0 & 2A & A^2 \end{bmatrix} \quad (15)$$

3d. Euleri DT $2e_{kl} = \delta_{kl} - c_{kl}$

$$[e_{kl}] = \frac{1}{2} \begin{bmatrix} 0 & 0 & 0 \\ 0 & \frac{A^2(A^2-3)}{(1-A^2)^2} & \frac{2A}{(1-A^2)^2} \\ 0 & \frac{2A}{(1-A^2)^2} & \frac{A^2(A^2-3)}{(1-A^2)^2} \end{bmatrix} \quad (16)$$

Deformatsiooni analüüs

4. Deformatsioonitensorite peaväärtused ja peasunad.

4a. Greeni deformatsioonitensor C_{KL} . Kasutame konspekti valemit (3.104)²

$$(C_{KL} - C\delta_{KL}) N_L = 0. \quad (17)$$

Peaväärtused C määratatakse karakteristikust võrrandist

$$|C_{KL} - C\delta_{KL}| = \begin{vmatrix} 1 - C & 0 & 0 \\ 0 & 1 + A^2 - C & 2A \\ 0 & 2A & 1 + A^2 - C \end{vmatrix} = \\ = (1 - C) \left[(1 + A^2 - C)^2 - 4A^2 \right] = 0.$$

$$(18)$$

Viimase lahendid on (pärast ümbernummerdamist) $C_1 \geq C_2 \geq C_3$

$$C_1 = (1 + A)^2; \quad C_2 = 1; \quad C_3 = (1 - A)^2. \quad (19)$$

Igale peaväärtusele C_α vastab peasund $\mathbf{N}_\alpha \equiv (N_{1\alpha}, N_{2\alpha}, N_{3\alpha})$, mille määramiseks saame avaldise (17) põhjal kolm võrrandit:

$$\begin{cases} (C_{11} - C_\alpha) N_{1\alpha} + C_{12} N_{2\alpha} + C_{13} N_{3\alpha} = 0, \\ C_{21} N_{1\alpha} + (C_{22} - C_\alpha) N_{2\alpha} + C_{23} N_{3\alpha} = 0, \\ C_{31} N_{1\alpha} + C_{32} N_{2\alpha} + (C_{33} - C_\alpha) N_{3\alpha} = 0. \end{cases} \quad (20)$$

²Siin ja edaspidi 2010. a. konspekti numeratsioon

- i) Peasuund \mathbf{N}_1 . Peaväärtusele $C_1 = (1 + A)^2$ vastava peasuuna $\mathbf{N}_1 \equiv (N_{11}, N_{21}, N_{31})$ leidmiseks saab VS (20) kuju

$$\begin{cases} [1 - (1 + A)^2] N_{11} = 0, \\ [1 + A^2 - (1 + A)^2] N_{21} + 2AN_{31} = 0, \\ 2AN_{21} + [1 + A^2 - (1 + A)^2] N_{31} = 0, \end{cases} \quad (21)$$

kust saame

$$\begin{cases} N_{11} = 0, \\ -2AN_{21} + 2AN_{31} = 0, \\ 2AN_{21} - 2AN_{31} = 0, \end{cases} \Rightarrow \begin{cases} N_{11} = 0, \\ N_{21} = N_{31}. \end{cases} \quad (22)$$

Nüüd tuleb rakendada tingimust, et \mathbf{N}_1 on ühikvektor, st., $(N_{11})^2 + (N_{21})^2 + (N_{31})^2 = 1$. Seega $N_{21} = N_{31} = \pm 1/\sqrt{2}$ ja

$$\mathbf{N}_1 = \left(0, \pm \frac{1}{\sqrt{2}}, \pm \frac{1}{\sqrt{2}}\right). \quad (23)$$

Deformatsiooni analüüs

- ii) Peasuund \mathbf{N}_2 . Peaväärtuse $C_2 = 1$ puhul saab VS (20) kuju

$$\begin{cases} 0 = 0, \\ A^2N_{22} + 2AN_{32} = 0, \Rightarrow N_{22} = N_{32} = 0, \\ 2AN_{22} + A^2N_{32} = 0, \end{cases} \quad (24)$$

Kuna ka \mathbf{N}_2 peab olema ühikvektor, siis

$$\mathbf{N}_2 = (\pm 1, 0, 0). \quad (25)$$

- iii) Peasuund \mathbf{N}_3 . Peasuna \mathbf{N}_3 leidmiseks kasutame peaväärtust $C_3 = (1 - A)^2$, mille puhul VS (20) saab kuju

$$\begin{cases} [1 - (1 - A)^2] N_{13} = 0, \\ [1 + A^2 - (1 - A)^2] N_{23} + 2AN_{33} = 0, \\ 2AN_{23} + [1 + A^2 - (1 - A)^2] N_{33} = 0, \end{cases} \quad (26)$$

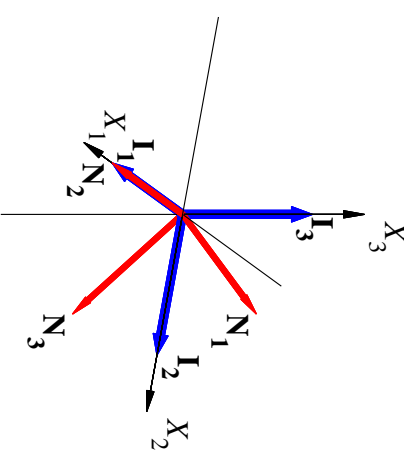
kust saame

$$\begin{cases} N_{13} = 0, \\ 2AN_{23} + 2AN_{33} = 0, \Rightarrow \begin{cases} N_{13} = 0, \\ N_{23} = -N_{33}. \end{cases} \\ 2AN_{23} + 2AN_{33} = 0, \end{cases} \quad (27)$$

Tingimusest $|\mathbf{N}_3| = 1$, saame nüüd, et

$$\mathbf{N}_3 = \left(0, \pm \frac{1}{\sqrt{2}}, \mp \frac{1}{\sqrt{2}} \right). \quad (28)$$

Valemite (23)–(28) põhjal on iga peasuna puul võimalik valida kahe vektori vahel. Tegelikult tuleb silmas pidada, et peasunad peavad moodustama parema käe kolmiku. Seega, kahes peasuna puul võime valida ükskõik kummaga kahest leitud vektorist, kuid kolmas peasund peab olema valitud nii, et kokku moodustuks parema käe kolmik. Näiteks, kui valime $\mathbf{N}_1 = \left(0, \frac{1}{\sqrt{2}}, \frac{1}{\sqrt{2}} \right)$ ja $\mathbf{N}_2 = (1, 0, 0)$, siis peab \mathbf{N}_3 vastama tingimusele $\mathbf{N}_3 = \mathbf{N}_1 \times \mathbf{N}_2$, mis antud juhul tähendab, et $\mathbf{N}_3 = \left(0, \frac{1}{\sqrt{2}}, -\frac{1}{\sqrt{2}} \right)$ (vt. joon. 3).



Joonis 3: Greeni deformatsioonitensori C_{KL} peasunad (peavektoriga \mathbf{N}_1 ja \mathbf{N}_3 asuvad $X_2 - X_3$ tasandil).

Deformatsiooni analüüs

4b. Cauchy deformatsioonitensor c_{kl} .

Nüüd tuleb lähtuda võrrandist

$$(c_{kl} - c\delta_{kl}) n_l = 0. \quad (29)$$

Eelnurga analoogiline protseduur annab tulemuseks

$$c_1 = (1+A)^{-2}; \quad c_2 = 1; \quad c_3 = (1-A)^{-2}. \quad (30)$$

Peaväärtuste järjestamise juures tuleb silmas pidada, et esimesele peaväärtusele c_1 peab vastama surim peapikenemine λ_1 ja kolmandale vähim, st. $C_\alpha = 1/c_\alpha = \lambda_\alpha^2$.

Selgub, et antud ülesande korral Cauchy ja Greeni deformatsioonitensorsi peasuid nad tältivad, seega

$$\mathbf{n}_1 = \left(0, \pm \frac{1}{\sqrt{2}}, \pm \frac{1}{\sqrt{2}} \right), \quad \mathbf{n}_2 = (\pm 1, 0, 0), \quad \mathbf{n}_3 = \left(0, \pm \frac{1}{\sqrt{2}}, \mp \frac{1}{\sqrt{2}} \right). \quad (31)$$

Viimastest võime valida eelnevaga analoogilise kolmiku $\mathbf{n}_1 = \left(0, \frac{1}{\sqrt{2}}, \frac{1}{\sqrt{2}} \right)$, $\mathbf{n}_2 = (1, 0, 0)$, $\mathbf{n}_3 = \left(0, \frac{1}{\sqrt{2}}, -\frac{1}{\sqrt{2}} \right)$ (vt. joon. 4).

4c. Lagrange'i deformatsioonitensori E_{KL} peavärtused ja peasuunad saab määrata võrrandist

$$(E_{KL} - E\delta_{KL}) N_L = 0, \quad (32)$$

kust saame

$$E_1 = \frac{A}{2}(A+2), \quad E_2 = 0, \quad E_3 = \frac{A}{2}(A-2). \quad (33)$$

Peavärtuste järjestamisel tuleb jälegi silmas pidada, et suurimale peapikene-misele λ_1 vastaks esimene peavärtus E_1 ja vähimale kolmas. Siinjuures tuleb lähtuda seostest $C_\alpha = \lambda_\alpha^{-2}$ ja $E_\alpha = \lambda_\alpha^{-2} - 1$. Lagrange'i deformatsioonitensori peasuunad ühtivad Greeni deformatsioonitensori peasuundadega.

Kontroll.

Konspekti valemi (3.105) põhjal $2E = C - 1$. Seega $2E_1 = (1+A)^2 - 1 = A(A+2)$, $2E_2 = 1 - 1 = 0$ ja $2E_3 = (1-A)^2 - 1 = A(A-2)$.

Deformatsiooni analüüs

4d. Euleri deformatsioonitensori e_{kl} peavärtused saab määrata seosest $2e = 1 - c$, seega

$$\begin{aligned} e_1 &= 0,5(1 - c_1) = \frac{A(2 + A)}{2(1 - A)^2}, & e_2 &= 0,5(1 - c_2) = 0, \\ e_3 &= 0,5(1 - c_3) = -\frac{A(2 - A)}{2(1 - A)^2}. \end{aligned} \quad (34)$$

Euleri deformatsioonitensori peasuunad ühtivad Cauchy deformatsioonitensori peasuundadega.

Loomulikult võib Euleri deformatsioonitensori peasuunad määrata ka võrrandist $(e_{kl} - e\delta_{kl}) n_l = 0$

5. Deformatsiooniellipsoidid Ruumiline deformatsiooniellipsoid on esitatud valemiga (3.112) ja materiaalne valemiga (3.115)

$$C_\alpha (dX_\alpha)^2 = ds^2 = k^2, \quad c_\alpha (dx_\alpha)^2 = dS^2 = K^2. \quad (35)$$

Kui $A = 1/2$, siis

$$\begin{cases} C_1 = (1 + A)^2 = \frac{9}{4}, \\ C_2 = 1, \\ C_3 = (1 - A)^2 = \frac{1}{4}, \end{cases} \xrightarrow{c_\alpha = 1/C_\alpha} \begin{cases} c_1 = \frac{4}{9}, \\ c_2 = 1, \\ c_3 = 4, \end{cases} \quad (36)$$

Kui valida $t = t_0$ puhul $dS = ds = K = k$, siis avalduvad pooltelgede pikkused järgmiselt:

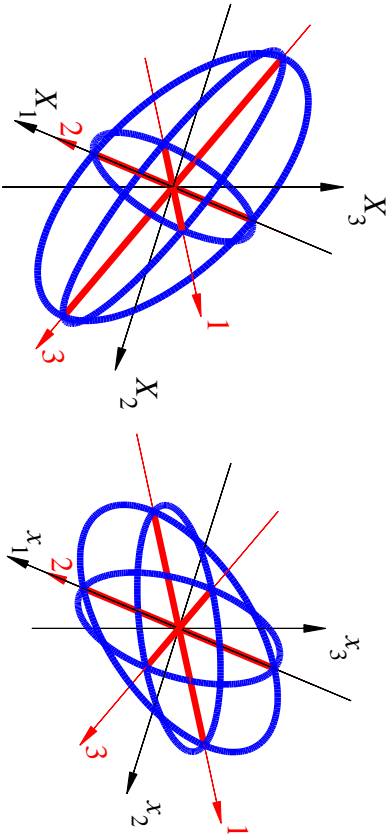
Ruumiline:

$$\begin{aligned} a_\alpha^s &= \frac{k}{\sqrt{C_\alpha}} \\ a_1^s &= \frac{2}{3}k; \quad a_2^s = k; \quad a_3^s = 2k. \end{aligned} \quad \begin{aligned} a_\alpha^m &= \frac{K}{\sqrt{c_\alpha}} \equiv \frac{k}{\sqrt{c_\alpha}} = k\sqrt{C_\alpha} \\ a_1^m &= \frac{3}{2}k; \quad a_2^m = k; \quad a_3^m = \frac{1}{2}k. \end{aligned}$$

Materiaalne:

Deformatsiooni analüüs

Deformatsiooniellipsoidide pooltelgede orientatsioon on määratud deformatsioonitensorite pea suundadega — ruumilise deformatsiooniellipsoidi pooltelgededele vastavad \mathbf{N}_α ja materiaalse omadele \mathbf{n}_α (võrdle jooniseid 3–5).



Joonis 5: Ruumiline ja materiaalne deformatsiooniellipsoid.

6. Pikenemine ja pööre

6a. Elementaarkuubi servade ja diagonaalide pikenemiskoefftsendid (vt. joonis 2). Konspekti valenite (3.71) ja tensori C_{KL} definitsiooni (3.36) põhjal avaldub pikenemiskoefftsent suunas \mathbf{N} järgmiselt:

$$\Lambda_{(\mathbf{N})} = \frac{ds}{dS} = \sqrt{C_{KL} N_K N_L} = \sqrt{x_{k,K} x_{k,L} N_K N_L}. \quad (37)$$

Peasuundade puhul $\Lambda_\alpha = \sqrt{C_\alpha}$. Lihtsuse mõttes leiate pikenemiskoefftsentide ruudud $\Lambda_{(\mathbf{N})}^2$.

1) **Serv OA :** $OA \parallel X_1$ on 2. peasilis³, seega

$$\Lambda_{(OA)}^2 \equiv \Lambda_{(1)}^2 \equiv \Lambda_2^2 = C_2 = 1. \quad (38)$$

2) **Serv OC .** Leiate $\Lambda_{(OC)}^2 \equiv \Lambda_{(2)}^2$ kahel erineval moel, arvestades, et $\mathbf{N}_{(OC)} = \mathbf{I}_2 = (0, 1, 0)$.

$$\begin{aligned} \text{i)} \quad \Lambda_{(2)}^2 &= \frac{ds^2}{dS^2} = \frac{dX^2 + A^2 dX^2}{dX^2} = 1 + A^2, \\ \text{ii)} \quad \Lambda_{(2)}^2 &= C_{22} \cdot 1 \cdot 1 = 1 + A^2, \end{aligned} \quad (39)$$

³Täpsustame jällegi tähistusi: $\Lambda_{(K)}$ tähistab pikenemiskoefftsenti koordinaadi X_K sihis ja Λ_α on peapikenemine peasuunas α .

Deformatsiooni analüüs

3) Serv OD . Joonise 2 põhjal

$$\Lambda_{(OD)}^2 \equiv \Lambda_{(3)}^2 = \Lambda_{(2)}^2 = 1 + A^2. \quad (40)$$

4) Diagonaal OG on 1. peasihis, st., $\mathbf{N}_{(OG)} = \mathbf{N}_1 = (0, 1/\sqrt{2}, 1/\sqrt{2})$. Leiate pikinemiskoefftsendi $\Lambda_{(OG)}$ jällegi kolmel erineval moel:

$$\begin{aligned} \text{i)} \quad \Lambda_{(OG)}^2 &\equiv \Lambda_1^2 = C_1 = (1 + A)^2, \\ \text{ii)} \quad \Lambda_{(OG)}^2 &= \frac{ds^2}{dS^2} = \frac{2(dX + AdX)^2}{dX^2 + dX^2} = (1 + A)^2, \\ \text{iii)} \quad \Lambda_{(OG)}^2 &= C_{KL} N_K N_L = C_{22} \cdot \frac{1}{2} + C_{33} \cdot \frac{1}{2} + 2C_{23} \cdot \frac{1}{2} = (1 + A)^2. \end{aligned} \quad (41)$$

5) Diagonaal DC on 3. peasuunas, seega

$$\Lambda_{(DC)}^2 \equiv \Lambda_3^2 = C_3 = (1 - A)^2. \quad (42)$$

6) Diagonaal OE pole ei telje- ega peashiline.
Ühikvektor $\mathbf{N}_{(OE)} = (1/\sqrt{2}, 0, 1/\sqrt{2})$ ja

$$\begin{aligned} \text{i)} \quad \Lambda_{(OE)}^2 &= \frac{ds^2}{dS^2} = \frac{2dX^2 + A^2 dX^2}{dX^2 + dX^2} = 1 + \frac{A^2}{2}, \\ \text{ii)} \quad \Lambda_{(OE)}^2 &= C_{KL} N_K N_L = \dots \end{aligned} \quad (43)$$

7) Diagonaal OF . Analooggelt eelmisega, $\mathbf{N}_{(OF)} = (1, 1, 1)/\sqrt{3}$ ja

$$\begin{aligned} \text{i)} \quad \Lambda_{(OF)}^2 &= \frac{ds^2}{dS^2} = \frac{dX^2 + 2(1+A)^2 dX^2}{3dX^2} = 1 + \frac{4A}{3} + \frac{2A^2}{3}, \\ \text{ii)} \quad \Lambda_{(OF)}^2 &= C_{KL} N_K N_L = \dots \end{aligned} \quad (44)$$

8) Diagonaal DB . Nüüd, $\mathbf{N}_{(DB)} = (1, 1, -1)/\sqrt{3}$ ja

$$\begin{aligned} \text{i)} \quad \Lambda_{(OF)}^2 &= \frac{ds^2}{dS^2} = \frac{dX^2 + 2(1-A)^2 dX^2}{3dX^2} = 1 - \frac{4A}{3} + \frac{2A^2}{3}, \\ \text{ii)} \quad \Lambda_{(OF)}^2 &= C_{KL} N_K N_L = \dots \end{aligned} \quad (45)$$

Deformatsiooni analüüs

22

9) Ülejää nud servade ja diagonaalide pikenemiskoefftsendid on võrdsed juba leitutega.

Kontroll. $\Lambda_{(K)}^2 = C_{\underline{K}\underline{K}}$ ja Λ_1 ning Λ_3 on ekstremaalsed kõigi $\Lambda_{(\mathbf{N})}$ seast.

6b. Suhteline pikenemine⁴.

$$E_{(\mathbf{N})} = \epsilon_{(\mathbf{n})} = \frac{ds - dS}{dS} = \Lambda_{(\mathbf{N})} - 1. \quad (46)$$

Seega

$$\left\{ \begin{array}{l} E_{(1)} = 1 - 1 = 0, \quad E_{(2)} = E_{(3)} = \sqrt{1 + A^2} - 1, \\ E_1 = (1 + A) - 1 = A, \quad E_2 = E_{(1)} = 0, \quad E_3 = (1 - A) - 1 = -A. \end{array} \right. \quad (47)$$

Suhitelisel pikenemisel $E_{(X_K)} \equiv E_{(K)}$ puudub nii otsene seos Lagrange'i deformat-sioonitensoriga E_{KL} kui on pikenemiskoefftsendi $\Lambda_{(K)}$ ja Greeni deformatsiooni-tensori C_{KL} vahel.

⁴ⁱ⁾ $\frac{\text{Suhtelist pikenemist } E_{(\mathbf{N})} = \epsilon_{(\mathbf{n})}}{E_\alpha = C_\alpha - 1 = \Lambda_{(\mathbf{N})}^2 - 1}$ ei tohi segi ajada tensori E_{KL} peavärtustega E_α :
ⁱⁱ⁾ Analoogiliselt pikenemiskoefftsentidega tähistab E_α suhtelist pikenemist peasunas α ja $E_{(K)}$ suhtelist pikenemist koordinaadi X_K suunas.

Valemite (3.78) põhjal

$$2E_{\underline{K}\underline{K}} = (1 + E_{(K)})^2 - 1 = \Lambda_{(K)}^2 - 1,$$

ehk

$$2E_{\underline{K}\underline{K}} = \frac{ds_{(K)}^2 - dS_{(K)}^2}{dS_{(K)}^2}.$$

Teatavasti on viimane tuntud 1D juhul kui Lagrange'i deformatsioon.

Deformatsiooni analüüs

6c. Kuubi servade ja diagonaalide pööre.

Arvutamiseks on (vähemalt) kaks võimalust: (i) läbi deformeerunud kuubi geometria ja (ii) läbi algse kuubi ja deformeerunud kuubi servasihiliste vektorite skalaarkorutise.

Arvutuse juures on võetud $A = 0,5$ ja vastused on kraadides.

- 1) Serv OA ei pöördu, seega $\beta_{OA} = 0$.
- 2) Serv OC (vt. joonis 6), $\beta_{OC} = 26,5651$

$$\overline{OC} = (0, 1, 0)dX, \quad \overline{OC'} = (0, 1, A)dX, \quad |\overline{OC}| = dX, \quad |\overline{OC'}| = \sqrt{1 + A^2}dX.$$

(i) läbi deformeerunud kuubi geometria,

$$\cos \beta_{OC} = \frac{|\overline{OC}|}{|\overline{OC'}|} = 0.89443, \quad \beta_{OC} = 26,5651. \quad (48)$$

(ii) läbi algse kuubi ja deformeerunud kuubi servasihiliste vektorite skalaarkorutise

$$\cos \beta_{OC} = \frac{\overline{OC} \cdot \overline{OC'}}{|\overline{OC}| \cdot |\overline{OC'}|} = 0.89443, \quad \beta_{OC} = 26,5651. \quad (49)$$

- 3) Serv OD, $\beta_{OD} = 26,5651$
 4) Diagonaal OB, $\beta_{OB} = 19,4712$

$\overline{OB} = (1, 1, 0)dX$, $\overline{OB'} = (1, 1, A)dX$, $|\overline{OB}| = \sqrt{2}dX$, $|\overline{OB'}| = \sqrt{2 + A^2}dX$. läbi deformeerunud kuubi geomeetria,

$$\cos \beta_{OB} = \frac{|\overline{OB}|}{|\overline{OB'}|} = 0.89443, \quad \beta_{OB} = 26,5651. \quad (50)$$

- 5) Diagonaal OE, $\beta_{OE} = 19,4712$
 6) Diagonaal OF, $\beta_{OF} = 10,025$
 7) Diagonaal OG, $\beta_{OG} = 0$

Deformatsiooni analüüs

26

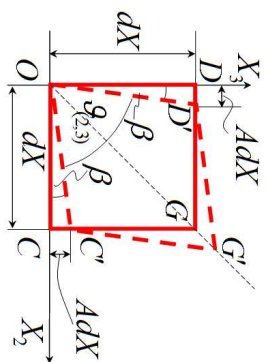
6d. Algse täsnurga muut $X_2 - X_3$ tasandis — nihe. On selge, et teljega X_1 paralleelne kuubi serv deformatsiooni käigus ei pöördu ning servad, mis on paralleelsed X_2 ja X_3 teljega pöörduvad nurga $\beta = \arctan A$ võrra (joonis 6). Leiate X_2 ja X_3 telje vahelise täsnurga muudu.

$$\Gamma_{(2,3)} = \frac{\pi}{2} - \vartheta_{(2,3)} = 2\beta = 2 \arctan A. \quad (51)$$

Seega $A = 1/2$ korral $\Gamma_{(2,3)} = 2 \arctan 0,5 = 53,13^\circ$. Teiselt poolt valemi (3.81) põhjal

$$\cos \vartheta_{(2,3)} = \frac{C_{23}}{\sqrt{C_{22}C_{33}}} = \frac{2A}{1 + A^2} \quad (52)$$

ja valemi (51) põhjal $\sin \Gamma_{(2,3)} = \cos \vartheta_{(2,3)}$. Kui $A = 1/2$, siis $\sin \Gamma = 4/5$ ja $\Gamma = 53,13^\circ$.



Joonis 6: Algse täisnurga muutus.

7. Pöördetensor $R_{kK} = n_{k\alpha} N_{\alpha K}$ pöörab Greeni deformatsioonitensorsi peasuundadeks \mathbf{n}_α . Antud juhul peasuundadeks \mathbf{n}_α ja \mathbf{N}_α avaldsed ühtivad, st., $\mathbf{n}_1 = \mathbf{N}_1 = (0, \pm \frac{1}{\sqrt{2}}, \pm \frac{1}{\sqrt{2}})$, $\mathbf{n}_2 = \mathbf{N}_2 = (\pm 1, 0, 0)$ ja $\mathbf{n}_3 = \mathbf{N}_3 = (0, \pm \frac{1}{\sqrt{2}}, \mp \frac{1}{\sqrt{2}})$.

Seega kui valime peasuundadeks

$$\mathbf{n}_1 = \mathbf{N}_1 = (0, \frac{1}{\sqrt{2}}, \frac{1}{\sqrt{2}}), \mathbf{n}_2 = \mathbf{N}_2 = (1, 0, 0) \text{ ja } \mathbf{n}_3 = \mathbf{N}_3 = (0, \frac{1}{\sqrt{2}}, -\frac{1}{\sqrt{2}}),$$

siis pöördetensor

$$R_{kK} = \delta_{kK}. \quad (53)$$

Deformatsiooni analüüs

Kui aga valida

$$\mathbf{n}_1 = -\mathbf{N}_1 = -(0, \frac{1}{\sqrt{2}}, \frac{1}{\sqrt{2}}), \mathbf{n}_2 = \mathbf{N}_2 = (1, 0, 0) \text{ ja } \mathbf{n}_3 = -\mathbf{N}_3 = (0, -\frac{1}{\sqrt{2}}, \frac{1}{\sqrt{2}}),$$

siis saame hoopis teistsuguse pöördetensori —

$$R_{kK} = \begin{bmatrix} 1 & 0 & 0 \\ 0 & -1 & 0 \\ 0 & 0 & -1 \end{bmatrix}. \quad (54)$$

8. Greeni deformatsioonitensori C_{KL} invariantid.

$$\begin{aligned} I_C &= C_1 + C_2 + C_3 = \dots = 3 + 2A^2, \\ II_C &= C_1C_2 + C_2C_3 + C_3C_1 = \dots = 3 + A^4, \\ III_C &= C_1C_2C_3 = \dots = (1 - A^2)^2. \end{aligned} \quad (55)$$

Kui $A = 1/2$, siis $I_C = 7/2$, $II_C = 49/16$ ja $III_C = 9/16$.